

Zeitschrift:	Bulletin des Schweizerischen Elektrotechnischen Vereins, des Verbandes Schweizerischer Elektrizitätsunternehmen = Bulletin de l'Association suisse des électriciens, de l'Association des entreprises électriques suisses
Herausgeber:	Schweizerischer Elektrotechnischer Verein ; Verband Schweizerischer Elektrizitätsunternehmen
Band:	76 (1985)
Heft:	19
Artikel:	Schmal- und breitbandige Teilentladungsmessungen
Autor:	Szaloky, G.
DOI:	https://doi.org/10.5169/seals-904681

Nutzungsbedingungen

Die ETH-Bibliothek ist die Anbieterin der digitalisierten Zeitschriften auf E-Periodica. Sie besitzt keine Urheberrechte an den Zeitschriften und ist nicht verantwortlich für deren Inhalte. Die Rechte liegen in der Regel bei den Herausgebern beziehungsweise den externen Rechteinhabern. Das Veröffentlichen von Bildern in Print- und Online-Publikationen sowie auf Social Media-Kanälen oder Webseiten ist nur mit vorheriger Genehmigung der Rechteinhaber erlaubt. [Mehr erfahren](#)

Conditions d'utilisation

L'ETH Library est le fournisseur des revues numérisées. Elle ne détient aucun droit d'auteur sur les revues et n'est pas responsable de leur contenu. En règle générale, les droits sont détenus par les éditeurs ou les détenteurs de droits externes. La reproduction d'images dans des publications imprimées ou en ligne ainsi que sur des canaux de médias sociaux ou des sites web n'est autorisée qu'avec l'accord préalable des détenteurs des droits. [En savoir plus](#)

Terms of use

The ETH Library is the provider of the digitised journals. It does not own any copyrights to the journals and is not responsible for their content. The rights usually lie with the publishers or the external rights holders. Publishing images in print and online publications, as well as on social media channels or websites, is only permitted with the prior consent of the rights holders. [Find out more](#)

Download PDF: 26.01.2026

ETH-Bibliothek Zürich, E-Periodica, <https://www.e-periodica.ch>

Schmal- und breitbandige Teilentladungsmessungen

G. Szaloky

Die messtechnische Erfassung der Teilentladungsimpulse mittels schmal- und breitbandigen TE-Detektoren wird beschrieben. Die Bandbreite ist wesentlich massgebend für das Doppelimpulsverhalten des TE-Detektors. Weiter werden praktische, durch zahlreiche Messungen bestätigte Hinweise für die Störunterdrückung gegeben. Zwei typische Versuche zeigen den Einfluss der Bandbreite und die Grösse der gemessenen Störsignale. Unter Beachtung gewisser Massnahmen und Einschränkungen können breitbandige TE-Messungen auch ohne abgeschirmte Kabinen durchgeführt werden.

L'article décrit les procédés techniques pour la mesure de décharges partielles au moyen de détecteurs à bandes larges ou étroites. La largeur de la bande est déterminante pour le comportement du détecteur en cas de double impulsion. On donne ensuite des informations pratiques pour diminuer les perturbations, informations confirmées par de nombreuses mesures effectuées. Deux essais typiques démontrent l'influence de l'étalement de la bande passante et le niveau mesuré des signaux perturbateurs. A la lumière de divers essais on arrive à la conclusion qu'on peut procéder à des mesures de décharges partielles sur bandes larges, même sans cabine blindée, pour autant qu'on observe certaines conditions restrictives.

1. Einleitung

Teilentladungsmessungen (TE-Messungen) an Hochspannungsapparaten sind als Mittel der Qualitätskontrolle schon lange bekannt [1; 2]. In letzter Zeit sind vor allem in der Messtechnik Fortschritte erzielt worden. TE-Messungen werden meistens in einer elektronisch verseuchten Umgebung durchgeführt. Die Störpegel sind sehr hoch; es ist schwierig, die notwendige Messempfindlichkeit zu erreichen; Störunterdrückungs-Massnahmen drängen sich auf.

Die Verwendung von abgeschirmten Räumen bringt den besten Schutz vor Störern, ist aber auch am kostenintensivsten. Die Brückenmethode allein kann nicht alle Störer unterdrücken, ebensowenig die Verwendung schmalbandiger Messinstrumente [6]. Im vorliegenden Beitrag sollen diese Methoden und deren Anwendung erläutert und mit Beispielen belegt werden.

Im ersten Teil der Arbeit wird der Zusammenhang zwischen Bandbreite, Filterantwort und Signal-Überlagerung behandelt. Im zweiten Teil werden die verschiedenen Störer und die Unterdrückungsmassnahmen aufgelistet. Der dritte Teil enthält zwei typische Experimente an Leistungstransformatoren. Insbesondere werden schmalbandige und breitbandige Messungen verglichen.

2. Einfluss der Bandbreite

Die IEC-Publ. 270 unterscheidet bei TE-Messungen:

Schmalbandige Messgeräte: Bandbreite Δf wesentlich kleiner als die Bandmittelfrequenz f_0 (typische Werte: $\Delta f = 9 \text{ kHz}$, $f_0 = 500 \text{ kHz}$)

Breitbandige Messgeräte: Bandbreite Δf in der gleichen Größenordnung wie die obere Grenzfrequenz f_2 (typische Werte: $\Delta f = 300 \text{ kHz}$, $f_2 \approx 400 \text{ kHz}$)

2.1 Filterantwort

Der TE-Messkreis besteht, vereinfacht dargestellt (Fig. 1) aus einem Prüfobjekt C_p , einem Kopplungskondensator C_k und einer Messimpedanz R . Ein TE-Impuls der Ladung Q erzeugt über der Messimpedanz R den folgenden Spannungsabfall:

$$\hat{U}_{TE} = \Delta Q / C_p$$

Die Zeitkonstante τ der Abfallzeit beträgt

$$\tau = R \frac{C_p C_k}{C_p + C_k}$$

Die Spannungsform $u_e(t)$ ist in Figur 1 schematisch dargestellt. Um die Filterantwort zu berechnen, wird der TE-Impuls durch einen Rechteckimpuls mit der gleichen Fläche Q ersetzt:

$$F = \int_0^\infty \hat{U}_{TE} e^{-t/\tau} dt = \hat{U}_{TE} \cdot \tau = \frac{\Delta Q R C_k}{C_p + C_k}$$

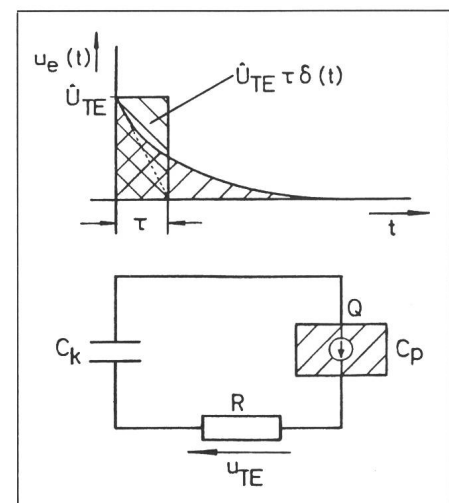


Fig. 1 Nachbildung eines TE-Impulses durch einen Rechteckimpuls, vereinfachtes Ersatzschaltbild

Adresse des Autors

Dr. G. Szaloky, Emil Haefely & Cie AG,
Lehmannstrasse 353, 4028 Basel.

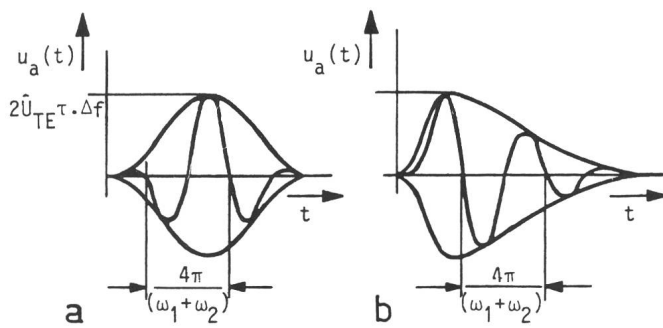


Fig. 2
Filterantwort eines
Bandpassfilters
a Erster Ordnung
b Zweiter Ordnung

Die Bandmittenfrequenz f_0 des Messbereiches muss viel tiefer liegen als diese Nullstellen, d.h.

$$f_0 \ll f_n = \frac{1}{2\tau} \text{ für } n = 1$$

Beispielsweise ist $f_0 = 200$ kHz und $f_1 = 2,5$ MHz (f_1 ist die untere Grenzfrequenz). In diesem Falle wird die Ladung der TE-Impulse richtig gemessen. Im allgemeinen gilt, je tiefer die Bandmittenfrequenz, um so «genauer» ist die Ladungsmessung. Bei der Bezeichnung «genau» ist allerdings zu beachten, dass immer von der scheinbaren Ladung [3] gesprochen wird.

Einige Beispiele von Filterantworten werden in den Oszillogrammen 4a bis 4d gezeigt, die mit dem TE-Detektor in Figur 5 durchgeführt wurden. Dieser weist einen breitbandigen und zwei schmalbandige Messbereiche auf. Das Eingangssignal entsprach einem Kalibriersignal von 10 pC.

Die Länge der Filterantwort ist umgekehrt proportional zur Bandbreite des Filters. Die Schwingungsfrequenz entspricht etwa der Mittenfrequenz f_0 . Wenn die Bandbreite zu klein wird ($\Delta f \leq 10$ kHz), kann wegen der sehr

Damit kann die Filterantwort berechnet werden:

Eingangsspannung:

$$u_e(t) = \hat{U}_{TE} \tau \delta(t); \quad \delta(t) = 0 \text{ oder } 1$$

Ausgangsspannung, berechnet nach [4]:

$$U_a(t) = \hat{U}_{TE} \frac{2\tau}{\pi(t-T)} \cdot$$

$$\sin \frac{\omega_2 - \omega_1}{2} (t-T) \cdot \cos \frac{\omega_2 + \omega_1}{2} (t-T)$$

Bandbreite des Filters: $\omega_2 - \omega_1 = \Delta \omega = 2\pi \Delta f$. Phasengang linear mit ωT .

Die typische Form der Filterantwort ist in Figur 2 dargestellt. Die Filterantwort entspricht einem Wechselspannungsimpuls mit dem Scheitwert $2\hat{U}_{TE} \tau \Delta f$ und der Kreisfrequenz $(\omega_1 + \omega_2)/2$. Δf ist die Bandbreite des Messgerätes und somit konstant. Der Scheitwert der Filterantwort ist da-

her proportional der «Fläche» $\hat{U}_{TE} \tau$ der Eingangssignale und auch proportional der Impulsladung Q . Diese Messmethode wird als «Quasi-Integration» bezeichnet.

In Figur 3 ist das Frequenzspektrum einer Teilentladung dargestellt. Die Fouriertransformation dieses Frequenzspektrums ergibt

$$U(\omega) = \frac{QRC_k}{\pi(C_p + C_k)} \frac{\sin \omega t}{\omega t}$$

Die Nulldurchgänge befinden sich bei den Frequenzen

$$f_n = \frac{n}{2\tau} \text{ für } n = 1, 2, 3 \dots$$

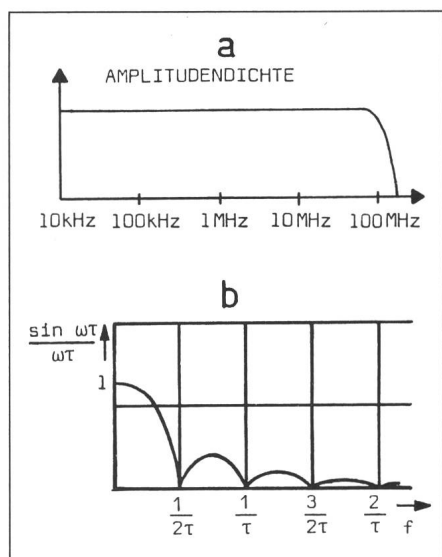


Fig. 3 Frequenzspektrum (a) und Verlauf von dessen Fouriertransformation (b) schematisch dargestellt

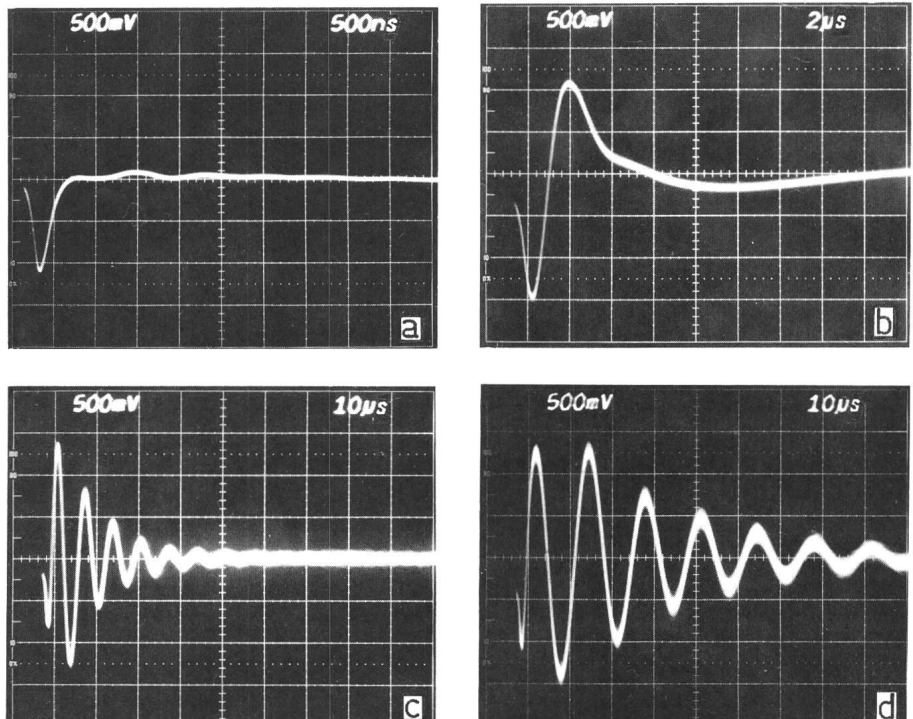


Fig. 4 Eingangssignal von 10 pC und Filterantwort

- a Eingangssignal am TE-Detektor, gemessen mit einem breitbandigen Verstärker, $\Delta f = 10$ MHz, $f_0 = 5$ MHz
- b Filterantwort des Breitbandfilters Nr. 3, $\Delta f = 360$ kHz, $f_0 = 220$ kHz
- c Filterantwort des schmalbandigen Filters Nr. 2, $\Delta f = 30$ kHz, $f_0 = 150$ kHz
- d Filterantwort des schmalbandigen Filters Nr. 1, $\Delta f = 10$ kHz, $f_0 = 75$ kHz

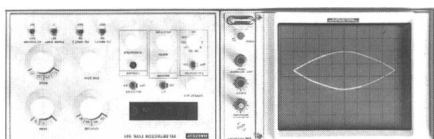


Fig. 5 TE-Detektor Typ 561
Hersteller: Emil Haefely & Cie AG, Basel

langen Filterantwort eine negative Superposition des Original-TE-Impulses mit einem seiner Reflexionen auftreten. Ferner wird das zeitliche Auflösungsvermögen reduziert. Den Figuren 4b und 4d kann die Abschätzung der Tabelle I entnommen werden.

Tabelle I

Bandbreite des Filters	Zeitliches Auflösungsvermögen
360 kHz	$\sim 3 \mu s$
30 kHz	$\sim 20 \mu s$
10 kHz	$\sim 70 \mu s$

Bei den schmalbandigen Messungen ist auch die frequenzabhängige Abschwächung der TE-Signale in den Prüfobjekten zu berücksichtigen. Ein Vergleich von Messresultaten, gemessen bei verschiedenen Mittenfrequen-

zen, ist praktisch nicht möglich. Bei breitbandigen Messungen hingegen wird ein Mittelwert über die frequenzabhängige Abschwächung gebildet. Ein Vergleich von TE-Messresultaten ist dort zulässig.

2.2 Doppelimpulsverhalten

Das Doppelimpulsverhalten eines breitbandigen Filters ($\Delta f \approx 300$ kHz) ergibt nie zu kleine Resultate. Wenn die beiden Signale weniger als etwa $2 \mu s$ separiert sind, wird die Filterantwort die doppelte Amplitude ergeben. Eine negative Superposition zweier Signale ist nicht möglich. Die Oszillogramme 6 und 7 zeigen Beispiele des Doppelimpulsverhaltens.

3. Störeinflüsse

TE-Messungen an Leistungstransformatoren werden hauptsächlich mittels der beiden in Figur 8 vorgestellten «Bushing-Tap»- bzw. «Straight-Forward»-Methoden durchgeführt.

Bei der Bushing-Tap-Methode wird die kapazitiv gesteuerte Durchführung mit C_1 und C_2 als Koppelkondensator verwendet; Z_m ist die Messimpedanz, C_0 der Injektionskondensator für die

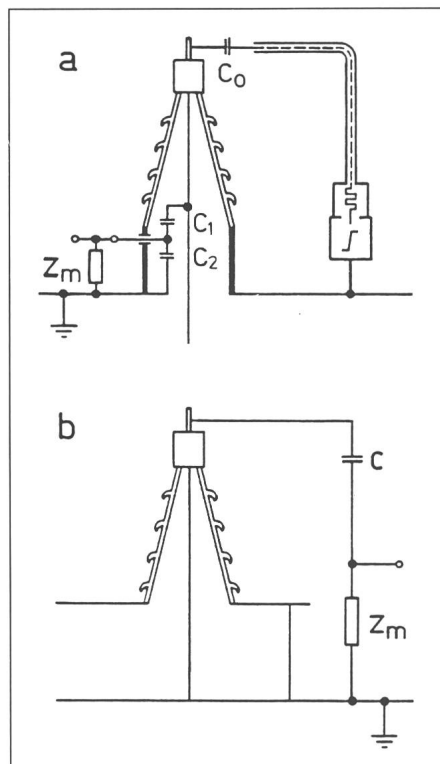


Fig. 8 Messmethoden für TE-Messungen an Leistungstransformatoren
Schematische Darstellung
a der Bushing-Tap-Methode
b der Straight-Forward-Methode

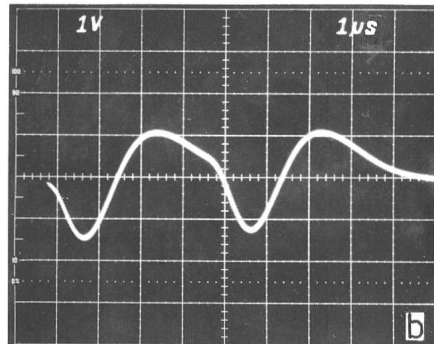
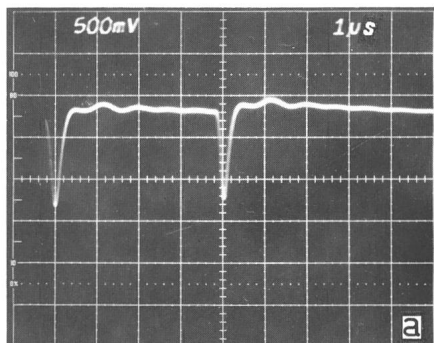


Fig. 6 Doppelimpulssignal mit Signalabstand $4 \mu s$

a Eingangssignal gemessen mit breitbandigem Verstärker, $\Delta f = 10$ MHz
b Filterantwort des breitbandigen Filters Nr. 3, $\Delta f = 360$ kHz

Fig. 7 Doppelimpulssignal mit Signalabstand $0,5 \mu s$

a Eingangssignal gemessen mit breitbandigem Verstärker, $\Delta f = 10$ MHz
b Filterantwort des breitbandigen Filters Nr. 3, $\Delta f = 360$ kHz

Kalibrierung des Messkreises. Bei der Straight-Forward-Methode wird ein externer Hochspannungskondensator C als Koppelkondensator benutzt.

Messungen in den verschiedenen Hochspannungs-Laboratorien lassen die folgenden, wichtigsten Quellen von Störungen erkennen:

3.1 Externe Störquellen, nicht im Messaufbau:

- A) Elektronische Geräte und Maschinen mit Thyristorantrieben
- B) Schaltvorgänge im Netz
- C) Radiosender in der Nähe des Prüffeldes
- D) Andere in Betrieb stehende Hochspannungsversuche
- E) Betrieb von Schweißapparaten
- F) Große, z.B. mit Gleichrichtern ausgerüstete Elektromotoren
- G) Leuchtstofflampen

3.2 Interne Störquellen, erzeugt durch einen unzweckmäßigen Messaufbau:

- H) Elektronische Messgeräte (Ventilatoren, Zeilentrafos von KOs, Thyristoren usw.)

- K) Äussere Entladungen am Messaufbau, bedingt durch zu kleine Elektroden, scharfe Kanten oder Spitzen
- L) TE in der Speise-Einrichtung (HS- oder Speise-Trafo)
- M) Schlechte Kontakte in der Speisung oder im HS-Trafo
- N) Schlechte HS-Verbindungen, nur lose aufliegende Rohre usw.
- P) Höhere harmonische Frequenzen der Speisespannung
- Q) TE an anderen sich im HS-Labor befindlichen grossen Gegenständen
- R) Ungeerdet herumliegende Gegenstände

Das Erkennen und Analysieren dieser Störer ist sehr aufwendig und verlangt neben sehr viel Erfahrung die Verwendung von TE-Detektoren mit einem Bildschirm, auf welchem die Prüfspannung zusammen mit den aufgehelten TE-Impulsen bzw. Störern dargestellt werden kann. Allein schon die Position der Störer in bezug auf die Phasenlage der Prüfspannung lässt Rückschlüsse auf den Ursprung dieser Störer ziehen. Einige typische Erscheinungsbilder der Störer sind im CIGRE-Bericht Nr. 11 [5] dargestellt.

3.3 Einstreuungen und Abschwächungsmassnahmen

Die Einstreuungen in den Messaufbau erfolgen durch die Streukapazitäten des Prüfobjektes und durch die Schlaufen, die durch den Messkreis gebildet werden. Aus diesen Gründen ist eine einzige Störunterdrückungs-Massnahme, wie z.B. der Einsatz von HF-Filters in der Speiseleitung, meistens ungenügend. Die Störreinflüsse gelangen über mehrere Wege in den Messaufbau. Signale, welche durch den Messaufbau als Antenne aufgefangen werden, erzeugen im Messkreis einen Strom, welcher im gleichen Sinne wie der TE-Strom fliesst. Solche Störer können z.B. nicht durch eine Brückenschaltung eliminiert werden.

Eine ideale Störunterdrückung ist einzig durch einen Faradayschen Käfig mit gefilterten Zuführungen realisierbar. Da aber die HS-Apparate beachtliche Dimensionen aufweisen, ist die Einrichtung einer solchen Halle recht aufwendig. Falls kein Faraday-scher Käfig zur Verfügung steht, können trotzdem TE-Messungen mit einer vernünftigen Empfindlichkeit durchgeführt werden, wenn die vorhandenen Störquellen sorgfältig analysiert

und nach Möglichkeit eliminiert oder unterdrückt werden.

Bevor eine intensive Analyse durchgeführt wird, lohnt es sich, die folgenden einfachen Massnahmen zu beachten:

- Die TE-Messung zu einem Zeitpunkt durchführen, in welchem möglichst viele Maschinen stillstehen (Fälle D und E können so gelöst werden)
- Leuchtstoff-Lampen ausschalten (Fall G)
- Die Prüfobjekte und andere grössere Objekte in der Prüfhalle mit richtig dimensionierten Elektroden abschirmen (K und Q)
- Boden reinigen und alle Gegenstände gut erden (R)
- Mess- und Speisegeräte ohne interne Störgeräusche oder TE verwenden, eventuell Filter einsetzen (H, L und M)
- Auf sehr gute Stromkontakte und HS-Verbindungen achten (M und N)
- Der Einfluss von Störern, welche durch das Netz in den Messaufbau gelangen, kann durch entsprechende Filter auf der Niederspannungsseite reduziert werden (B, F und P)

Durch Antennenwirkung aufgefangene Störreinflüsse wie z.B. A, C und F sind am schwierigsten zu unterdrücken. Folgende Massnahmen helfen, die Amplitude solcher Störsignale zu reduzieren:

- Schmalbandige Messeinrichtung
- Reduktion der geometrischen Größe des Messkreises (z.B. Bushing-Tap-Methode statt Straight-Forward-Methode)
- Schlaufen eliminieren, welche durch Streukapazitäten zwischen langen, nebeneinander verlegten Kabeln gebildet werden (z.B. doppelt abgeschirmte Kabel verwenden)
- Streukapazitäten direkt kurzschliessen (Beispiel: Kapazität zwischen Kabelrolle aus Metall und Kabel-Abschirmung)

Wie in Abschnitt 2 erwähnt, kann die Verwendung schmalbandiger Messgeräte zu Fehlmessungen führen. Aus diesem Grunde wird in gewissen Fällen gleichzeitig schmalbandig und breitbandig gemessen.

4. Experimentelle Ergebnisse

Von den zahlreichen, in verschiedenen Labors durchgeföhrten Messungen seien hier zwei Beispiele vorge-

stellt. Bei beiden handelt es sich um TE-Messungen an Leistungstransformatoren.

4.1 Versuch 1

Labor:	Grossmontagehalle in einer Trafosfabrik, nicht abgeschirmt; elektrische Verbindungen spannen grosse Flächen auf; keine Filter in der Speisung
Prüfobjekt:	Generator-Transformator
Nennspannung:	US: $3 \times 31,5 \text{ kV}$ OS: $3 \times 220 \text{ kV}/\sqrt{3}$
Leistung:	63 MVA
Prüf-anordnung:	- «Bushing-Tap»-Methode, elektrische Anordnung ähnlich Figur 8a - Alle 3 OS-Phasen erregt
Speisung:	- Motor-Generator-Satz - Zwischentransformer - Selbsterregung des Prüfobjektes - Speisespannungsfrequenz: etwa 100 Hz
Kalibrierung:	Ein Kalibriersignal von 100 pC wurde vor Anlegen der Speisespannung zwischen OS-Phase und Erde eingespeist
Spannungssprung:	$\Delta U = 1,0 \text{ V}$
Anstiegszeit:	$t \leq 50 \text{ ns}$
Injektionskondensator:	$C_0 = 100 \text{ pF}$
Injizierte Ladung:	$q = 100 \text{ pC}$

Der TE-Detektor wurde so abgeglichen, dass die digitale Anzeige genau 100 pC ergab. So konnten bei der TE-Messung die Werte direkt in pC (digital) abgelesen werden.

Die TE-Messungen wurden in allen 3 Frequenzbereichen durchgeführt:

Band 1: Schmalbandiger Messbereich:

$$\Delta f = 10 \text{ kHz}, f_0 = 75 \text{ kHz}$$

Band 2: Schmalbandiger Messbereich:

$$\Delta f = 30 \text{ kHz}, f_0 = 150 \text{ kHz}$$

Band 3: Breitbandiger Messbereich:

$$\Delta f = 360 \text{ kHz}, f_0 = 220 \text{ kHz}$$

Die Ergebnisse sind in Tabelle II zusammengestellt.

4.2 Versuch 1

Labor:	Prüfhalle in Trafosfabrik; zum Teil mit Drahtnetz abgeschirmt; saubere Erdung unter der Halle; keine Filter in der Speisung
Prüfobjekt:	Generator-Transformator
Nennspannung:	US: $3 \times 15 \text{ kV}$ OS: $3 \times 250 \text{ kV}$
Leistung:	181 MVA

Tabelle II

Hochspannung an der OS-Klemme	Band 1	TE-Ablesung Band 2	Band 3
HS = 0, Erregung aus HS = 0, Erregung ein	29 pC 41 pC	50 pC 54 pC	46 pC 58 pC
HS = 63 kV HS = 127 kV ¹ HS = 63 kV HS = 0, Erregung ein	320 pC 27 400 pC 320 pC 41 pC	220 pC 26 500 pC 220 pC 50 pC	200 pC 24 900 pC 200 pC 58 pC
HS = 0, Erregung aus, Grundstörpegel ²	8 pC	4 pC	4 pC

¹ Die OS-Elektroden hatten keine Toroide, Teilentladung in Luft.

² gemessen mit einem Fenster

Prüf-
anordnung: - «Bushing-Tap»-Methode
(Fig. 8a)

- 2 OS-Phasen geerdet
- 1 OS-Phasen erregt

Speisung: - Motor-Generator-Satz
- Zwischentransformator
- Selbsterregung des Prüfobjektes
- Speisespannungs-
frequenz: 200 Hz

Kalibrierung: Ein Kalibriersignal von 20 pC wurde vor Anlegen der Speisespannung zwischen OS-Phase und Erde eingespeist

Spannungssprung:
 $\Delta U = 2,0 \text{ V}$

Anstiegszeit:

$t \leq 50 \text{ ns}$

Injectiokondensator:

$C_0 = 100 \text{ pF}$

Injectierte Ladung:

$q = 100 \text{ pC}$

Das Messsystem wurde ähnlich wie im Versuch 1 kalibriert. Die Messungen wurden mit dem breitbandigen Filter Nr. 3 ($\Delta f = 360 \text{ kHz}$) durchgeführt. Tabelle III zeigt die Ergebnisse.

Tabelle III

Hochspannung an der OS-Klemme	TE-Ablesung
HS = 0, Erregung aus - Grundstörpegel - einzelne Störspitzen bis	5 pC 9 pC
HS = 0, Erregung ein	14 pC
HS = 250 kV	700–400 pC ¹

¹ Wert zunächst etwa 700 pC, im Laufe der Zeit bei konstanter Prüfspannung abnehmend bis etwa 400 pC. Der Transistor wies TE auf.

5. Schlussfolgerungen

Die beiden Versuche zeigen, dass breitbandige Messungen in der «Bushing-Tap»-Methode zu aussagekräftigen Resultaten führen. Insbesondere konnte beim Versuch 2 mit einem breitbandigen Messgerät eine Empfindlichkeit von etwa 10 pC erreicht werden. Wenn die in Abschnitt 3.3 aufgeführten Massnahmen konsequent verfolgt werden, können praktisch in jedem Labor TE-Messungen mit breitbandigen Geräten durchgeführt werden. In einem konsequent und sauber ausgerüsteten Labor können Pegel von 5–10 pC gemessen werden. Die Ausnahme bilden HS-Kabel grosser Längen und Labors, die in unmittelbarer Nähe von starken Radiosendern stehen.

Literatur

- [1] T. Praehauser: Lokalisierung von Teilentladungen in Hochspannungsapparaten. Schwierigkeiten und Aufwand. Bull. SEV 63(1972)16, S. 893...905.
- [2] T. Praehauser: Teilentladungsmessungen an Messwandlern. Einführung in die neue SEV-Publikation 3304. Bull. SEV/VSE 67(1976)2, S. 89...92.
- [3] Mesure des décharges partielles. Deuxième édition. Publication de la CÉI N° 270, 1981.
- [4] N. Hytén-Cavallius et J. Frixell: Effet de couronne dans les transformateurs de puissance et problèmes d'essai correspondants. Rapport CIGRE N° 104, 1962.
- [5] Identification des décharges. Electra -(1969)11, p. 61...98.
- [6] P. Osvath, W. Zaengl und H.J. Weber: Teilentladungsmessungen: Probleme und deren Lösung mit einem flexiblen Messsystem. Bull. SEV 76(1985)19, S. 1137...1143.



ASE 857

MERLIN GERIN

à chaque besoin,
une réponse de qualité,
avec de l'appareillage
et des équipements
moyenne tension

*Unsere Antwort
auf ihren Bedarf
heisst Qualität,
mit Geräten
und Ausrüstungen
in der Mittelspannung*

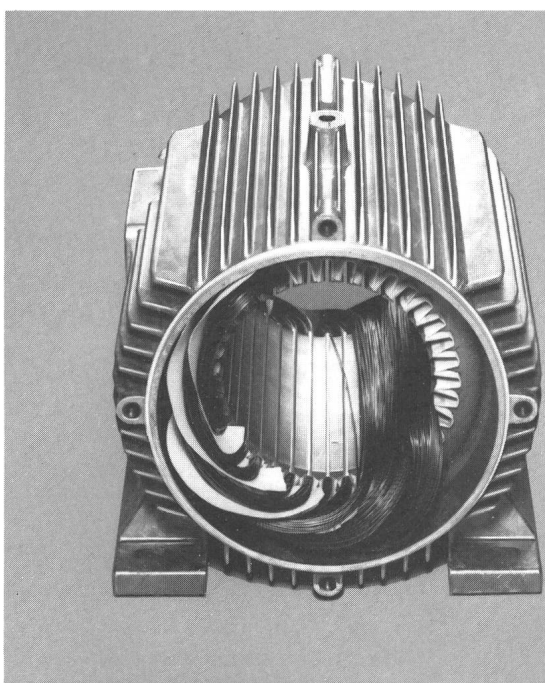
*la maîtrise de l'énergie électrique
Elektrotechnik mit Verstand*



52, avenue Giuseppe-Motta
1202 Genève / Genf
tél. 022 / 33 58 00

MERLIN GERIN

Wachendorf AG, Technischer Grosshandel, 4002 Basel, Tel. 061- 42 90 90



Flächen- isolationen

**einlagig und
mehrschichtig aus
den Werkstoffen:**

Pressspan

**Polyesterfolie-
Mylar***

**Aramidpapier-
Nomex***

**Polyimidfolie-
Kapton***

* Du Pont's eingetragenes
Warenzeichen

Eigenschaften:

Mylar*

Hohe el. Durchschlags- und
Zugfestigkeit, bis 150 °C.

Nomex*

Hohe el. Durchschlagsfestig-
keit, flammwidrig, verträg-
lich gegen Chemikalien, Lö-
sungsmittel und radioaktive
Strahlungen, bis 220 °C.

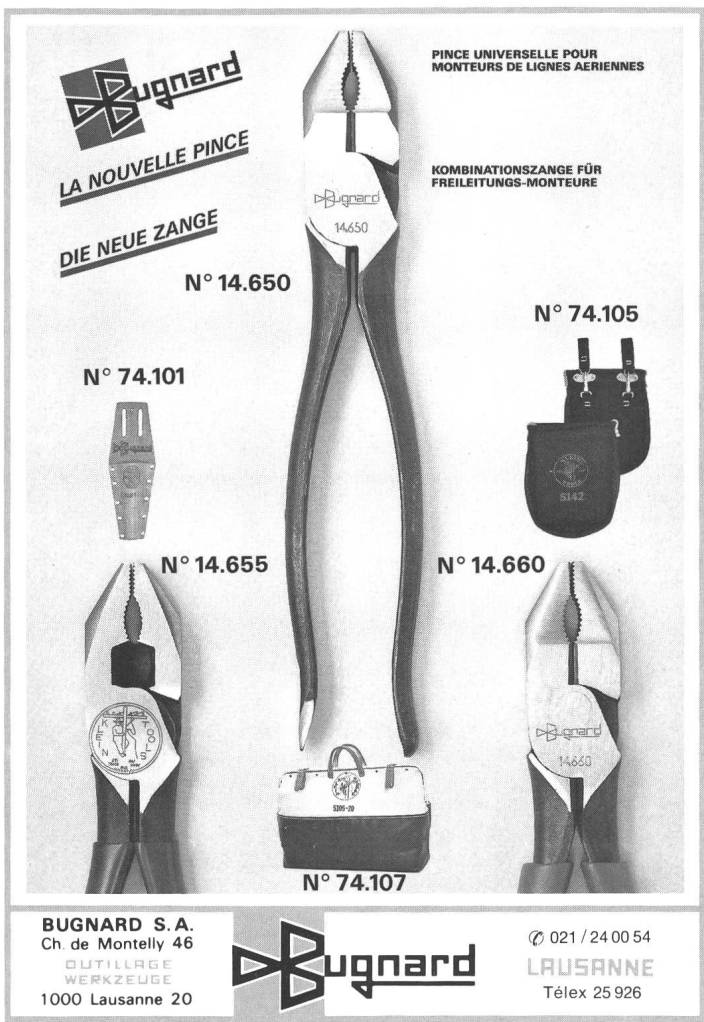
Kapton*

Thermische Höchst-Ansprüche
von -269 °C bis +400 °C,
dimensionsstabil, flammwidrig,
kein Schmelzpunkt und strah-
lenbeständig.

Mehrschichtenisolation

Durch Verwendung versch.
Trägerstoffe können Eigen-
schaften variiert werden,
Einsatzbereich in den Wärme-
klassen B-F-H-C.

Wachendorf

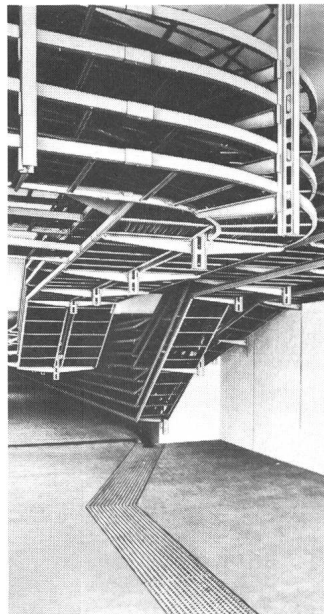


RICO HILFT SPAREN

RICO-Kabeltragkonstruktionen, -Kabelpritschen und -Kabelrinnen

Schnelles und wirtschaftliches Verlegen aller Kabel jeder Grösse mit beliebigem Verlauf.

Senken Sie Ihre Kosten, verlangen Sie «RICO» - Tel. 01-830 12 51

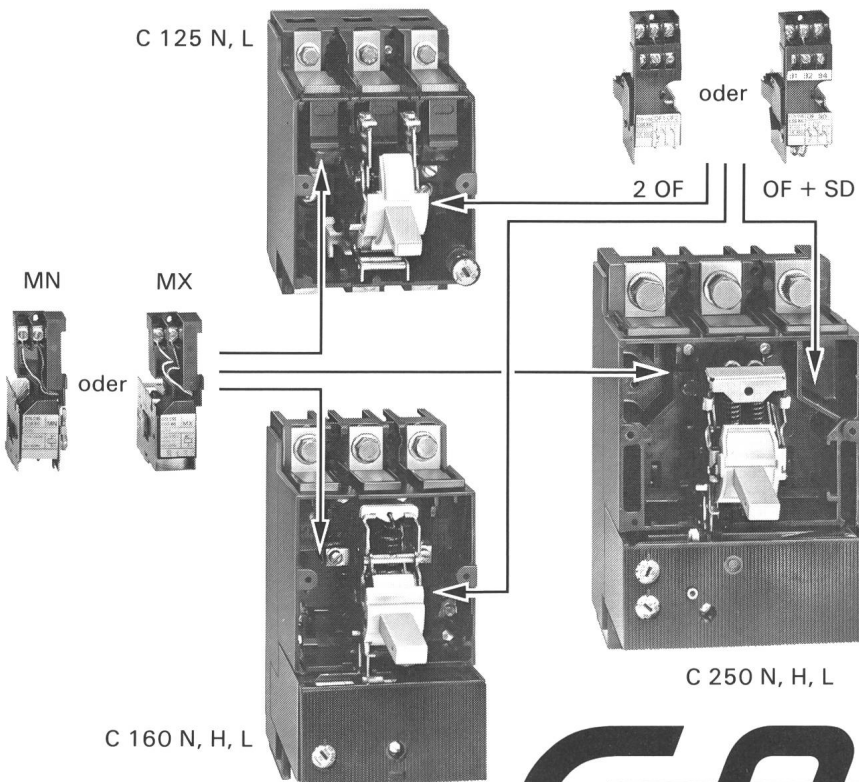


Bruno Winterhalter AG

Ressort Industrieprodukte

Oberwiesenstrasse 4
Telefon 01-830 12 51

8304 Wallisellen
82 62 12



**Neue Reihe Compact-Leistungsschalter
MERLIN GERIN
von 100 bis 2500 A
Abschaltvermögen bis
150 kA**

**Gleiche elektrische Zusatzausrüstungen für
C 125 – C 160 –
C 250 N, H, L**

MN Unterspannungs - Auslösespule
MX Arbeitsstrom - Auslösespule
OF Hilfskontakt (Wechsler)
SD Störmeldekontakt

Verlangen Sie Katalogblatt.

FABRIK FÜR ELEKTRISCHE APPARATE
HOCH- UND NIEDERSPANNUNG

GRRDY
Postfach 165 CH-1211 GENÈVE 24
TEL. 022/43 54 00 TELEX 422 067